

## Chapitre VI

### ELECTROSTATIQUE

#### Théorème de Gauss

#### Plan

- I. Introduction
- II. Enoncé du théorème de Gauss
- III. Flux du champ électrique
  - 1. Définition d'un flux à travers une surface
  - 2. Propriétés du vecteur élément de surface
  - 3. Notion de surface fermée
- IV. Application
  - 1. fil infini
  - 2. Plan infini

A. Zellagui

## I. Introduction

Le théorème de Gauss permet le calcul du champ électrique  $E$  à partir du flux de  $\vec{E}$  :  $\Phi(\vec{E})$ .

⇒ Le théorème est plus facile à appliquer pour des systèmes à symétrie (sphérique ou cylindrique...).

⇒ Le calcul du flux, il est nécessaire de connaître la direction de  $\vec{E}$  (que l'on peut déduire à l'aide des symétries).

## II. Énoncé du théorème de Gauss

Le flux de  $\vec{E}$  à travers une surface fermée, appelée surface de Gauss  $S_g$ , est égal à la somme des charges intérieures (à  $S_g$ ) divisée par  $\epsilon_0$ :

$$\oiint_{S_g} \vec{E} \cdot d\vec{S} = \frac{Q_{\text{int}}}{\epsilon}$$

( $\epsilon = \epsilon_r \epsilon_0$  ; milieu air ou vide  $\epsilon_r = 1 \Rightarrow \epsilon = \epsilon_0$ )

- $\epsilon$  : Permittivité diélectrique du milieu  $\epsilon_{\text{air}} = \epsilon_{\text{vide}} = \epsilon_0$
- $\oiint$  : intégrale sur une surface fermée.
- $S_g$  : Surface de Gauss, surface fictive qui vérifie :
  - $S_g$  fermée
  - $S_g$  passe par M où se calcule  $\vec{E}(M)$
  - de géométrie "cohérente" avec la géométrie du système physique réel
- $Q_{\text{int}}$  : Charge contenue à l'intérieur de la surface de Gauss :  $S_g$ .

### III. Flux de $\vec{E}$ : flux électrique

#### 1- Définition

Par définition mathématique, le flux de  $\vec{E}$  est :

$$\Phi(\vec{E}) = \iint_S \vec{E} \cdot d\vec{S} \quad (\text{flux de } \vec{E} \text{ à travers } S = \text{flux électrique})$$

( $\Phi$  "phi" de  $\vec{E}$ )

si  $S$  est fermé :  $\Phi(\vec{E}) = \oint_S \vec{E} \cdot d\vec{S} = \iint_S E dS \cos(\alpha)$  où  $\alpha = (\vec{E}, d\vec{S})$

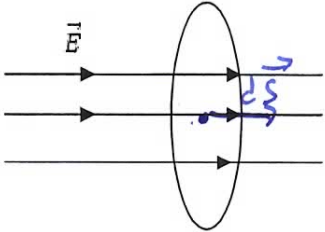
grandeur phys.      vecteur normal de surface

Le flux représente l'intensité de "l'écoulement des lignes de champs  $\vec{E}$ " à travers une surface  $S$  donnée.

Exemples:

Lignes de champ  $\vec{E}$  traversant un disque de section  $S$

①



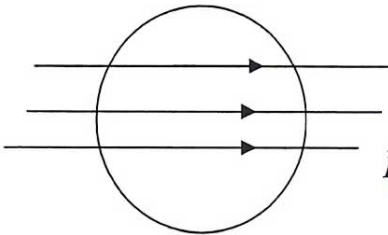
$$d\vec{S} = d\vec{x} \wedge d\vec{y}$$

$$dS = dx dy$$

→ Sans calcul : les lignes de  $\vec{E}$  traversent toute la section  $S$ , le flux est donc max

→ avec le calcul :  $\Phi(\vec{E}) = \iint_S E dS \cos(0^\circ) = \Phi_{\max}$   
car  $\cos(0^\circ)$  est max.

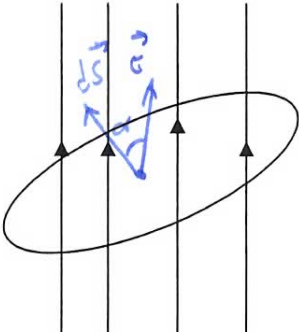
②



→ Sans calcul : les lignes de  $\vec{E}$  sont la surface sans la traverser, le flux est nul

→ avec le calcul :  $\Phi(\vec{E}) = \iint_S E dS \cos(90^\circ) = 0$

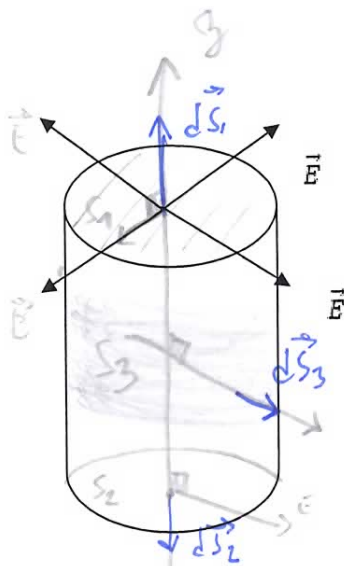
③



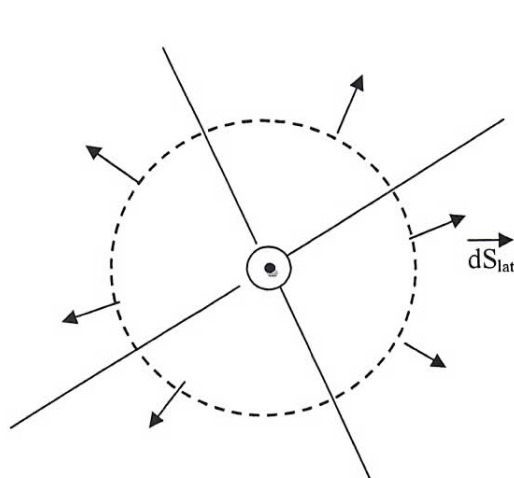
$$\Phi(\vec{E}) = \iint_S E dS \cos(\alpha) \quad 0 < \alpha < \frac{\pi}{2}$$

→  $0 < \Phi(\vec{E}) < \Phi(\vec{E})_{\max}$

Lignes de champ électrique radial traversant un cylindre



Vue de dessus :



$$S_{\text{fermée}} = S_1 + S_2 + S_3$$

2 surfaces + surface latérale

$$\Phi(\vec{E})_{\text{tot}} = \oint_{S_1 + S_2 + S_3} \vec{E} \cdot d\vec{S}$$

$$= \iint_{S_1} \vec{E} \cdot d\vec{S}_1 + \iint_{S_2} \vec{E} \cdot d\vec{S}_2 + \iint_{S_3} \vec{E} \cdot d\vec{S}_3$$

$$\vec{E} \perp d\vec{S}_1 \Rightarrow \Phi(\vec{E})_1 = 0 \quad (\text{car } \vec{E} \cdot d\vec{S}_1 = 0)$$

$$\vec{E} \perp d\vec{S}_2 \Rightarrow \Phi(\vec{E})_2 = 0 \quad ( \quad )$$

$\vec{E}$  colinéaire et de même sens que  $d\vec{S}_3$   
 $\Rightarrow \Phi(\vec{E})$  est max et  $> 0$

$$\begin{aligned} \Phi(\vec{E})_{\text{tot}} &= \Phi_{S_3}(\vec{E}) = \iint_{S_3} E dS_3 \cos(0^\circ) \\ &= \int_0^h \int_0^{2\pi} E \cdot r dr d\theta \\ &= E \cdot \pi r h \end{aligned}$$

## 2 - Propriétés du vecteur élément de surface $d\vec{S}$

Le vecteur  $d\vec{S}$  doit vérifier :

- Direction : perpendiculaire à la surface.
- Sens : orienté selon la règle de la main droite.
- Intensité :  $dS$  s'exprime en fonction des variables des coordonnées, selon la géométrie du système

Exemples :  $dS = \begin{cases} dx dy : \text{Pour une surface plane} \\ r dr d\theta : \text{Pour une surface de base cylindrique} \\ r d\theta dz : \text{Pour une surface latérale cylindrique} \end{cases}$

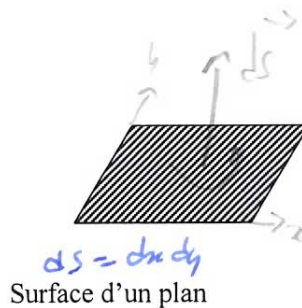
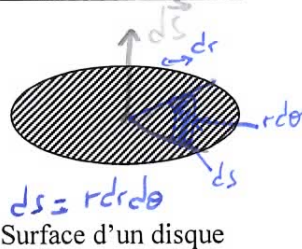
### 3- Notion de surface fermée

C'est une surface qui sépare ou "isole" le milieu extérieur du milieu intérieur. C'est aussi une enveloppe qui contient un volume.

Pour une surface fermée, le vecteur  $\vec{dS}$  est dirigé vers l'extérieur

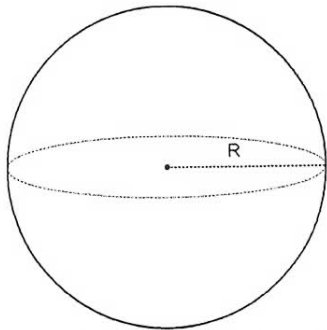
### Exemples

#### Surfaces non fermées



#### Surfaces fermées

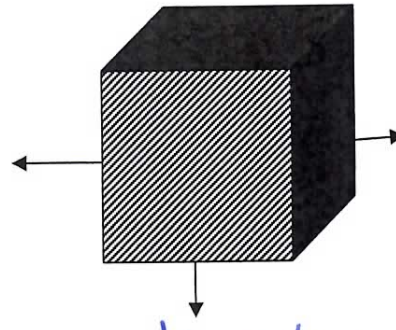




$$dS = (r d\theta) \times (r \sin \theta d\varphi)$$

$$= r^2 \sin \theta d\theta d\varphi \quad 0 \leq \theta \leq \pi$$

$$r = \text{cst sur la sphère} \quad 0 \leq \varphi \leq 2\pi$$



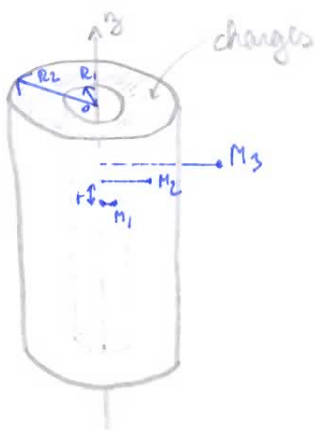
$$dS_2 = dx dy$$

#### 4- Notion de charge intérieure

$(Q_{int})_{S_g}$  = charge contenue à l'intérieur de la surface de Gauss (fermée)  $S_g$ .

$Q_{int} = \begin{cases} \text{fautive} & \text{si } S_g \text{ se trouve à l'intérieur du système chargé} \\ & \text{en surface} \\ \neq \text{représente une partie de la charge totale du système} & (\text{phys}) \\ \neq \text{représente la charge totale du système} & (\text{phys}) \end{cases}$

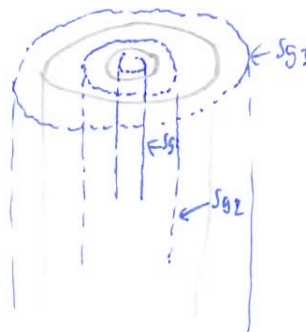
exple: charges réparties entre  $R_1$  et  $R_2$  d'un système cylindrique



$$\begin{cases} r < R_1 (M_1) \\ R_1 < r < R_2 (M_2) \\ r > R_2 (M_3) \end{cases}$$

$$\begin{aligned} S_{g1} \quad (Q_{int})_{S_{g1}} &= 0 \\ S_{g2} \quad (Q_{int})_{S_{g2}} &= \int \int \int_{R_1}^{R_2} \rho \cdot d\tau \\ S_{g3} \quad (Q_{int})_{S_{g3}} &= \int \int \int_{R_1}^{R_2} \rho \cdot d\tau \end{aligned}$$

*avec d\tau = r dr d\theta dz*





#### IV. Applications sur le théorème de Gauss

Étapes:

- \* Règle de symétrie pour  $\vec{E}$  pour trouver la direction de  $\vec{E}$  ( $\vec{E} \in \cap P_{\text{sym}}$  passant par M)
- \* Choix de  $S_g$  (en fonction de la géométrie du syst. phys chargé)
  - fermée
  - passant par M
- \* Calcul du flux de  $\vec{E}$ :  $\Phi(\vec{E}) = \oint \vec{E} \cdot d\vec{s}$  travers  $S_g$
- \* Calcul de  $Q_{\text{int}}$  dans les  $\neq$  régions du système
- \* Dans le théorème  $\Phi(\vec{E}) = \frac{Q_{\text{int}}}{\epsilon_0} \Rightarrow E =$  (pour chaque région du syst)

1- Fil infini

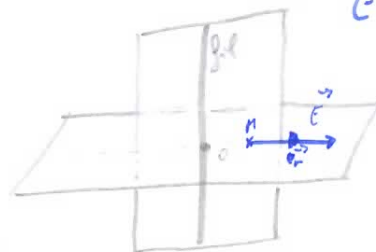
(Fil chargé avec une densité  $\lambda$  constant et positive)

Calcul de  $E(M)$ ?

\* direction de  $\vec{E}$

- fil infini
- $\lambda = \text{cst}$  (répartition uniforme des charges)

$\vec{E}$  est donc radial (en plus  $\vec{E}$  est divergent car  $\lambda > 0; Q > 0$ )



Vue de dessus



$$S_g = S_{\text{base 1}} + S_{\text{base 2}} + S_{\text{lat}}$$

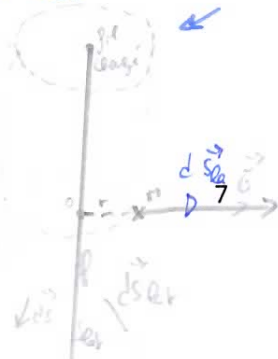
$\vec{E}$  est radial & ligne de  $\vec{E}$  ne traverse que  $S_{\text{lat}}$

$$\text{d'où } \Phi(\vec{E}) = \oint \vec{E} \cdot d\vec{s} = \int \vec{E} \cdot d\vec{s}_{\text{lat}}$$

$$\Phi(\vec{E}) = \int \vec{E} \cdot d\vec{s} \cos(\theta)$$

$$\Phi(\vec{E}) = E \cdot r \int d\theta \cdot \int dz$$

$$\Phi(\vec{E}) = E 2\pi r L$$



## Calcul de $(Q_{int})$ :

$$(Q_{int})_{\frac{r}{2}} = \text{Charge totale du fil} \\ = \int \lambda dl \quad \left( \begin{array}{l} \text{par def} \\ \text{car c'est un fil} \end{array} \right)$$

$$Q_{int} = \lambda l$$

$$\oint (\vec{C}) = \frac{Q_{int}}{\epsilon_0} \quad C \cdot 2\pi r h = \frac{\lambda h}{\epsilon_0}$$

$$E(r) = \frac{\lambda}{2\pi \epsilon_0 r}$$

$$\underline{TD} : C(r) = \frac{2\pi r h}{\lambda} \left( \begin{array}{l} a=r \\ b = \frac{1}{4\pi \epsilon_0} \end{array} \right) \Rightarrow \frac{C \cdot 2\pi r h}{4\pi \epsilon_0} \\ = \frac{\lambda}{2\pi \epsilon_0 r} \quad (\vec{a} \text{ resultat})$$



## **2- Plan infini**

On considère un plan infini chargé avec une densité  $\sigma$  cste et  $> 0$ .